

建筑工程部

預应力混凝土及鋼筋混凝土結構會議  
快 速 施 工 經 驗 交 流 會

# 技术 资 料 选 编

第三集      預应力配筋用鋼材

建筑工程部   建筑科学研究院  
                  施工管理局   編

建筑工程出版社

建 筑 工 程 部

預應力混凝土及鋼筋混凝土結構會議  
快 速 施 工 經 驗 交 流 會

技 术 資 料 选 編

第三集 預應力配筋用鋼材

建筑工程部 建筑科学研究院  
施 工 管 理 局 編

建 筑 工 程 出 版 社 出 版

• 1 9 5 9 •

建筑工程部  
預应力混凝土及鋼筋混凝土結構會議  
快速施工經驗交流會  
技術資料選編

第三集 預应力配筋用鋼材

建筑工程部 建筑科学研究院 施工管理局 編

---

1959年7月第1版

1959年7月第1次印刷

5,070冊

850×1168 1/32 · 198千字 · 印張78/8 · 挿頁5 · 定價(10)1.35元

建筑工程出版社印刷厂印刷 · 新华书店发行 · 書號: 1594

---

建筑工程出版社出版(北京市西郊百万庄)  
(北京市書刊出版業營業許可証出字第052号)

## 目 录

- 鋼絲徐變試驗報告 ..... 中國科學院土木建築研究所 (1)
- 低碳冷拔鋼絲、冷拉大及 $25^{\circ}\text{C}$ 鋼筋的松弛與徐變 ..... 建築科學研究院加筋混凝土結構研究室 (6)
- $25^{\circ}\text{C}$ 鋼筋的熱處理試驗 ..... 鐵道科學研究院鐵道建築組、金屬化學組 (30)
- 高強鋼筋初步研究報告 ..... 建築科學研究院加筋混凝土結構研究室 (34)
- 國產鍍鋅鋼絞線基本力學性能的研究 ..... 建築科學研究院加筋混凝土結構研究室 (50)
- 國產鍍鋅鋼絞線預應力混凝土配筋性能的研究 ..... 建築科學研究院加筋混凝土結構研究室 (66)
- 波紋鋼絲的性能及其在鋼弦混凝土構件中的應用 ..... 建築科學研究院加筋混凝土結構研究室 (85)
- 扭結及刻痕規律变形高強鋼絲及其應力配筋混凝土 ..... 建築科學研究院加筋混凝土結構研究室等 (108)
- 冷拉大鋼筋配筋預應力混凝土梁疲勞性能的研究 ..... 建築科學研究院加筋混凝土結構研究室 (130)
- 國產建築鋼材品質系數 ..... 冶金工業部建築研究院 (154)
- 低合金 $25^{\circ}\text{C}$ 鋼筋在重級工作制吊車梁中的疲勞性能研究 ..... 冶金工業部建築研究院 (171)
- 球墨鑄鐵筋混凝土試驗研究 ..... 清華大學土木系 (190)
- 冷壓規律变形鋼筋在梁內受力性能的試驗研究 ..... 建築科學研究院、電力建設研究所等 (215)

# 鋼絲徐變試驗報告

中国科学院土木建筑研究所

## 一、概述

材料在外力作用下所生变形随时间而增长的现象称为徐变。

在一些结构物中，材料产生徐变是有利的，但在许多情况下，它将导致受力状态的日益恶化。近年来，关于材料徐变规律及在工程结构中计算徐变影响的研究，已受到建筑者的注意。

在预应力混凝土结构中，混凝土和预应力钢筋的徐变引起预应力的损失，从而降低这种结构的抗裂性。

关于金属徐变的许多研究结果指出，影响金属徐变值的因素很多，其中金属的种类、试件所受应力的大小、延续的时间和所处的温度等起着最重要的作用。一般建筑物不受高温的作用，且预应力筋通常设置在混凝土结构物内部，因此，温度对预应力钢丝徐变的影响不重要。

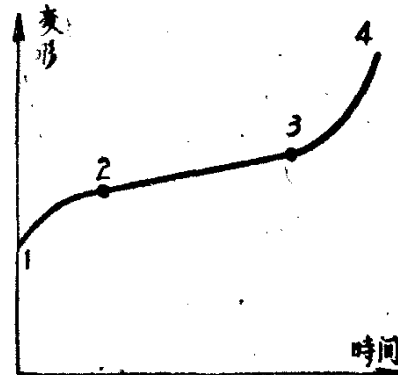
在一定的拉应力和温度条件下，典型的金属徐变曲线（如图1所示）可分为三个阶段（图中01是初始变形）：

12——第一阶段，即徐变速度减少阶段；

23——第二阶段，即徐变常速度阶段；

34——第三阶段，徐变速度增加并导致破坏。

在实际应用中，使用应力很小，第三阶段不会发生，故获得图2中虚线的图形。Andrade的研究指出，这种徐变图形可看作



0 图1 金属徐变曲线

两个过程的結合，即图 2 中的 I 和 II，Andrade 称之为徐变的  $\beta$  过程和  $k$  过程。

从图 2 可看出， $\beta$  过程的徐变速度随时间而减小，至一定时间后减至零，即  $\beta$  过程已經完成，而  $k$  过程徐变与时间成正比。

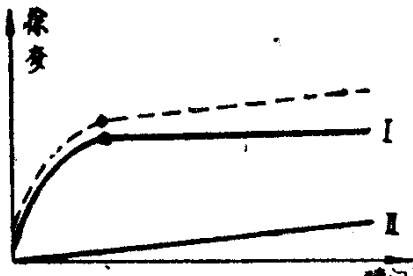


图 2 徐变的  $\beta$  过程和  $k$  过程

## 二、鋼絲徐变极限

为了表征徐变发展的規律和正确地計算徐变的影响，引出了徐变极限的概念，对于徐变极限有不同的規定。預应力混凝土用鋼絲的徐变极限是指在所規定的时间內徐变达到某一极限值时的应力，相当于徐变极限的徐变值很小，如果应力不超过此限值，则徐变的影响可以不計。

德国設計規范 DIN4227原規定（1950年）鋼絲徐变极限是加荷后第60分鐘至第100小时的拉伸度为0.008%的极限应力（定荷載試驗），但此极限值只是在加荷后第 6 分鐘至第60分鐘的拉伸度不超过0.016%时才是有效的。DIN 4227 新規范已改为定長度試驗（松弛），徐变极限是当加荷后第 6 分鐘至第1,000小时的內力損失为原荷重的 3 % 时的极限应力。

根据我們的試驗，鋼絲徐变的  $\beta$  过程历时 100 小时左右。因此，100 小时試驗所得到的徐变主要是  $\beta$  过程的結果，不能反映出在开始时虽較  $\beta$  过程为小、但与时间成正比增加的  $k$  过程的影响。显然，1,000小时徐变試驗方能获得較正确的結果。

## 三、試 驗

用定荷載試驗。我們測定了鋼絲在各种荷載下徐变发展的規律。

試驗前，先将荷載裝置好，緩慢地懸掛到鋼絲下端的卡具上，加载時間不超过半分鐘。加载后第 6 分鐘开始測讀，并記錄第 1、2、3、4、5 小时的变形，以后每天記錄二次，至 1,000 小



图 3

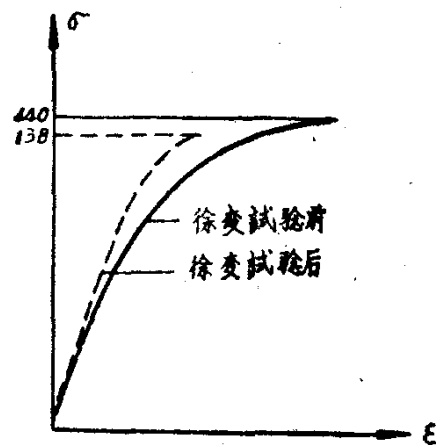


图 4

时后試驗終止。測量变形是用一对1/1000公厘的千分表，測量基距不小于一公尺。

試驗裝置如图3所示。这个裝置較好地消除了溫度变化的影响。

#### 四、試驗結果及分析

鋼絲直徑4公厘(天津厂)，强度极限 $\sigma_p$

$=14,000$ 公斤／平方公分，拉伸图如图4。

表1列出几个主要阶段的徐变值。

表 1

№	荷 載		徐变 $10^{-6}$ (自第6分鐘至)				
	公 斤	% $\sigma_p$	第1小時	第5小時	第100小時	第500小時	第1000小時
1	968	55	67.16	112.77	192.78	248.30	265.30
2	1,144	65	111.62	210.67	332.25	374.65	390.75
3	1,232	70	165.06	302.41	440.57	485.76	502.00
4	1,320	75	318.60	441.86	590.03	644.16	670.60
5	1,408	80	508.35	722.35	928.47	1,007.95	1,052.90
6	1,496	85	669.87	1,078.71	1,532.63	1,706.82	1,766.10
7	1,584	90	879.02	1,319.80	1,613.84	2,159.40	2,246.50

从这些試驗中得出了下列重要結果：

(1) 徐变隨荷載和時間而增長，但是也應看到；雖然徐变延續到1,000小時以後，然而此時徐變速度很小，且仍有繼續減小的趨勢，故可認為徐变是有極限值的。第1,000小時的徐变值已接近可能有的徐变的最終值，特別是當應力不大於 $70\% \sigma_p$ 時，在1,000小時以後徐变几乎不再增長。

(2) 以1,000小時徐变作為最終值，並稱此值與初始彈性變形之比為徐变系数 $\varphi_n$ 。

(3) 試驗得到的鋼絲徐变值很大，按照DIN4227舊規範，即使應力為 $55\% \sigma_p$ 時，第1小時至第100小時徐变也達到0.0125%，大大超過了0.008%。

定荷載試驗得到的徐变值往往大於定長度試驗的結果，但由於缺乏足夠的試驗資料，二者之間不能作準確的換算。Magnel的試驗指出，用同樣的加載過程，定荷載試驗在加載後60天徐变值為初始變形的16.2%，而定長度試驗12天以後的應力損失為初始應力的12%，即前者在數值上較後者大三分之一。據此，我們將DIN4227新規範中按定長度試驗的規定，即徐变极限是當加荷後第6分鐘至第1,000小時的內力損失為原荷重的3%時的極限應力，改為按定荷載試驗，即徐变极限取加載後第6分鐘至第1,000小時徐变達到初始變形的4%時的極限應力。在計算初始變形時可取彈性模數為常數，因試驗指出，鋼絲卸荷線很好地符合直線規律。根據這個新的折算過的徐变极限，容易看出：

當 $55\% \sigma_p$ 時

$$\text{徐变} \quad \varepsilon_n = 265.3 \times 10^{-6}$$

$$\text{初始變形} \quad \varepsilon_y = \frac{0.55 \times 14000}{2 \times 10^6} = 3850 \times 10^{-6}$$

$$\frac{\varepsilon_n}{\varepsilon_y} = 6.88\% > 4\%$$

即徐变极限低於 $55\% \sigma_p$ 。

(4) 在開始時徐變速度最大，徐變總值的很大一部分是在

最初的几小时产生的，例如 $65\% \sigma_p$ 时1,000小时徐变值为 $390.75 \times 10^{-6}$ ，而最初5小时为 $210.67 \times 10^{-6}$ ，占54%。徐变速度随时间而减小，经过一定时间后逐渐平直。徐变近似地为常速度（实际上徐变速度仍继续减小），符合Andrade的徐变理论。

(5) 分析所得到的试验结果，可以看出，徐变 $k$ 过程在徐变总值中只占很小一部分，占徐变总值主要部份的 $\beta$ 过程，其速度不仅与时间有关，而且随荷载加大而增长。假定在第6分钟至第60分钟的徐变值中忽视 $k$ 过程的影响，则易看出，当应力从65%增至70% $\sigma_p$ 时，在这段时间内 $\beta$ 过程平均徐变速度增加48%，换句话说，用提高应力的方法，可以使在极短时间內所产生的 $\beta$ 过程徐变等于在低应力下需要很长才能达到的值。根据这个分析，就能很好的解释一些国外文献中所提出的利用短期过张拉减小徐变值的试验结果。因为，即使是很短的过张拉也能大大消除徐变的 $\beta$ 过程。

图6和表2指出过张拉对徐变的显著影响。所试验的钢丝直径3公厘（鞍山厂）， $\sigma_p=14,100$ 公斤／平方公分。图5中线1是正常的徐变曲线，应力为 $65\% \sigma_p$ ，线2则经过反复的过张拉工作，其加载过程如图6所示。

表 2

序	加载方式	徐变 $10^{-6}$ （自第6分钟至）				
		第1小时	第5小时	第100小时	第500小时	第1000小时
1	按普通方法	100.23	167.43	26.58	291.97	316.62
2	过 张 拉	18.01	39.81	76.30	105.12	124.60

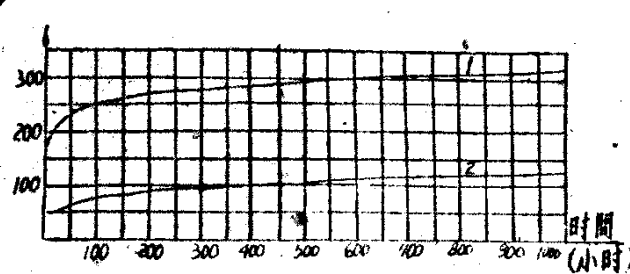


图 5

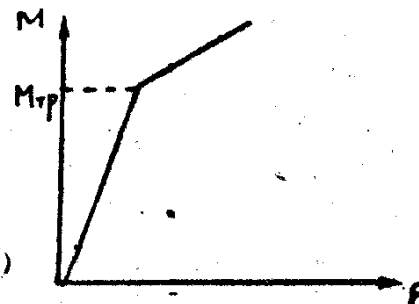


图 6 过张拉加载过程

这一試驗証實了過張拉對減小徐變 $\beta$ 過程的顯著效果。鋼絲在過張拉後的1,000小時徐變減至正常值的39.3%，徐變系數由6.9%減至2.72%，即小於4%。同時，第1至第100小時的徐變減為0.0058%，也小於0.008%。這樣，由於過張拉的影響，使徐變極限提高到了65% $\sigma_p$ 以上。

## 低碳冷拔鋼絲、冷拉尤<sub>5</sub>及25FC鋼筋的松弛与徐变

建築科學研究院加筋混凝土結構研究室

### 前　　言

鋼材在常溫高應力下具有不斷的塑性變形發展的特性，這個特性常用徐變或松弛來表示。

松弛系鋼材受力後在固定長度下隨着時間所發生的應力降低；徐變系鋼材在不變應力（外荷載）下隨着時間所發生的塑性變形。

由於預應力結構採用的高強鋼筋經常處於高應力狀態，故松弛或徐變引起的應力降低數值較大，特別是低碳冷拔鋼絲更為嚴重。

因為混凝土收縮及徐變引起構件縮短的程度不大，即構件長度幾乎不變，因此，預應力結構用的鋼材使用時的應力損失應按照松弛來考慮。不過，對鋼絲直接作松弛試驗比較困難，所以，採用易于進行的徐變試驗來代替，這樣得出的結果偏大一些。

我們對鋼絲進行了比較多的徐變試驗，同時也作了少量松弛試驗作為參考，粗鋼筋僅僅作了松弛試驗，而未作徐變試驗。

由於目前高強鋼絲供應量不大，且唐山鐵道學院正在進行這種鋼絲的松弛及徐變試驗，因此我們選取供應量較大的低碳冷拔鋼絲進行研究，此外對粗鋼筋則選用冷拉尤<sub>5</sub>及25FC鋼筋。

## 一、低碳冷拔鋼絲的徐變試驗

对原鋼材为  $\phi_3$  的低碳冷拔鋼絲进行的徐變試驗，包括有  $\phi_3$  公厘及  $\phi_4$  公厘两种，其靜力特征如表 1 所示。

表 1

鋼絲种类	直徑 (公厘)	条件流限 与极限强度 之比 $\frac{\sigma_{0.2}}{\sigma_p}$	极限强度 $\sigma_p$ (公斤/ 平方公分)	彈性模量 (公斤/ 平方公分)	冷弯次数 (d=20)	引伸率 S% (1=100 公厘)	盤徑
							(公厘)
低碳冷拔鋼絲( $\phi_6$ 拔成 $\phi_3$ )	3	0.96	7750~8900	$1.75 \times 10^6$	8~12	2.7	350~400
低碳冷拔鋼絲( $\phi_6$ 拔成 $\phi_4$ )	4	0.93	7100~8000	$1.85 \times 10^6$	10~12	3.4	500~600

图 1 为鋼絲拉伸应力——应变图形。

試驗采用直接加荷法，試件長为1.1—1.2公尺，用夹具(图2)将下端有荷重籃的鋼絲試件悬吊于支持在混凝土墩子上的两根工字鋼梁上(图3)。

用百分表拉力引伸仪及杠杆引伸仪配合測量应变(图4)，前者标距为300公厘，精度为1/100公厘，用以測量开始阶段发展較速較大的变形；后者标距为200公厘，精度为1/1000公厘，測量30分鐘以后的变形，这时徐变速度已大大降低。

試驗开始前，先在荷重籃中放置100公斤鐵块，将鋼絲拉直，然后安装百分表拉力引伸仪，并以每秒70—140公斤/平方公分速度加鉄块，全部加完的一剎那記初讀數，以后在开始的五分鐘內每一分鐘讀表一次，在开始的卅分鐘內每十分鐘讀表一次，最后則于1小时、2小时、24小时、72小时及100小时分別讀表。作試驗的時間大部分为100小时，以觀察100小时以后徐变的发展。考慮到溫度变化对試驗的影响，每次試驗时室內溫差保持在4°C以内。另外还作了8根1000小时的試驗。

試驗时考慮到以下三种因素对徐变的影响：

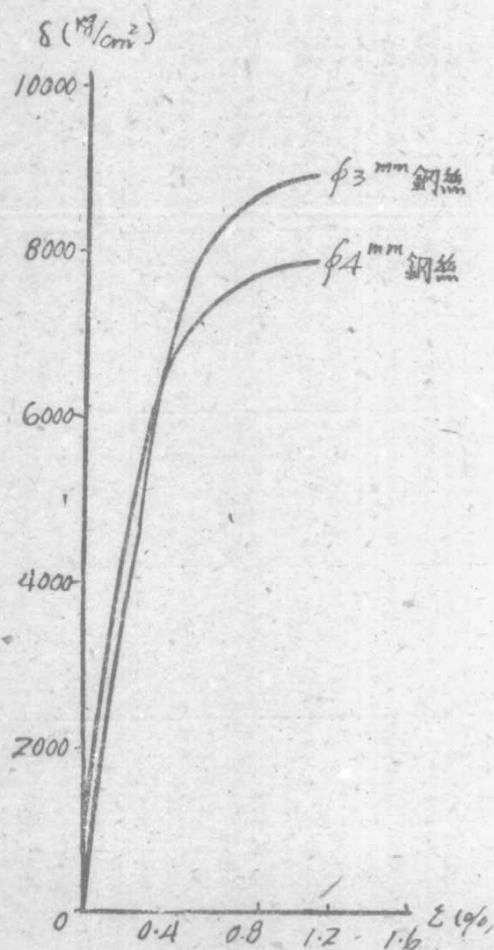


图 1 φ3公厘及φ4公厘应力—应变图

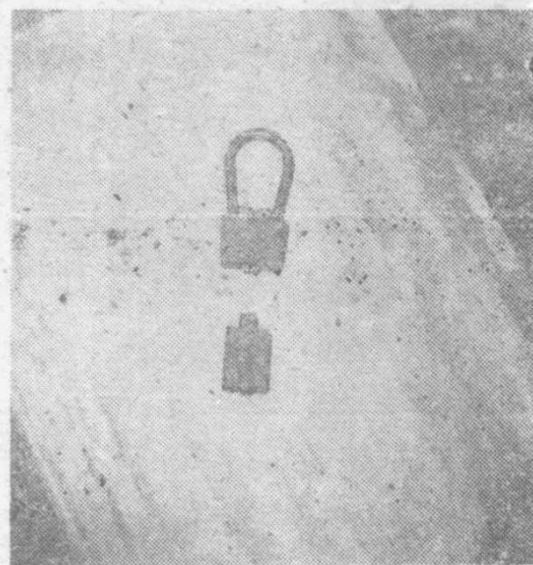


图 2 鋼絲徐變試驗用的夾具

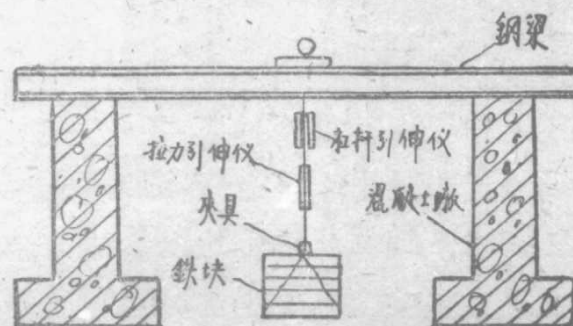
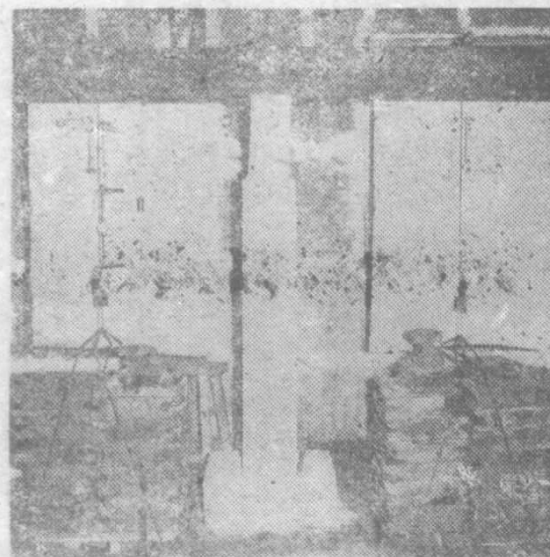


图 3 試驗設備簡圖



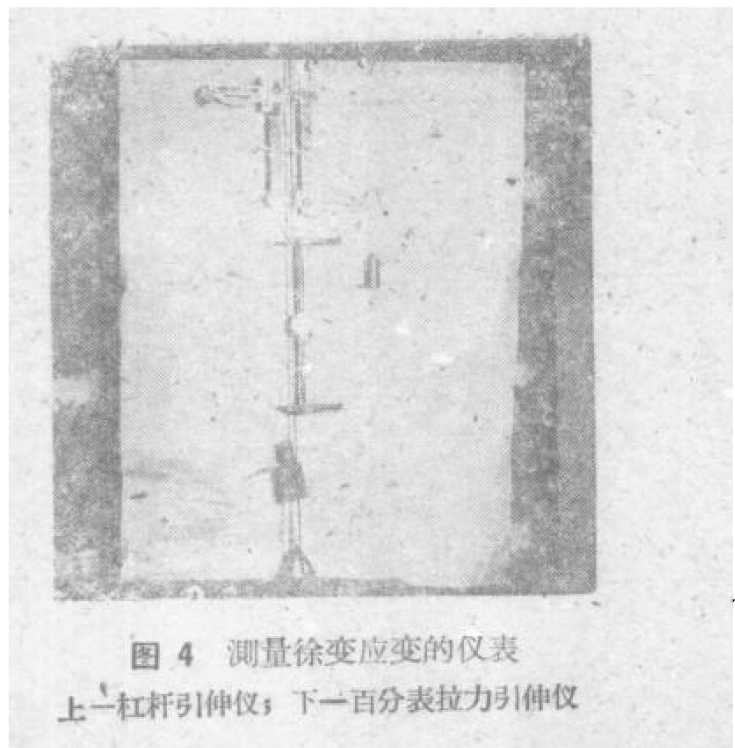


图 4 测量徐变应变的仪表  
上一杠杆引伸仪；下一百分表拉力引伸仪

1. 不同的控制应力值；
2. 不同的張拉方法（一次張拉及超荷張拉）；
3. 不同的直徑。

对每一种情况作了 2 ~ 3 根試驗，如果結果相差較大，再增加試件数量，最多有达到 6 根的。 $\phi$  3 公厘及  $\phi$  4 公厘两种鋼絲共作了 60 次試驗，对每一种情况选取一根具有适当結果的列入表 3。

对試驗結果作如下分析：

1. 一次張拉时，徐变量随控制应力的增高而加大。100 小时的徐变应力損失值列入表 2；各种控制应力下徐变应力損失值范围繪成曲綫見图 5。

在两种鋼絲强度相差不多的情况下，当控制应力与强度极限比相同时， $\phi$  3 公厘較  $\phi$  4 公厘的徐变量为大，一次張拉的約大 10%。

2. 超荷張拉可以降低徐变量。（1）一次超荷張拉：将超荷部分为强度极限的 5 ~ 15%，保持 2 分鐘，然后卸荷，再加荷至

表 2

一次張拉时低碳冷拔鋼絲100小时徐变应力损失( $\sigma_{n}^{100h}/\sigma_p \%$ )

控制应力与强度极限比(%)	0.65	0.7	0.75	0.8	0.85	备注
直徑(公厘)						
3	6.5~8.5 (5)	6.5~9.0 (3)	8.5~11 (3)	10~12.5 (6)	11~15 (3)	括弧內的数字表示試驗次數
4	6~7 (2)	6.5~8 (3)	8~10 (3)	8.5~10 (2)	12~13 (2)	同上

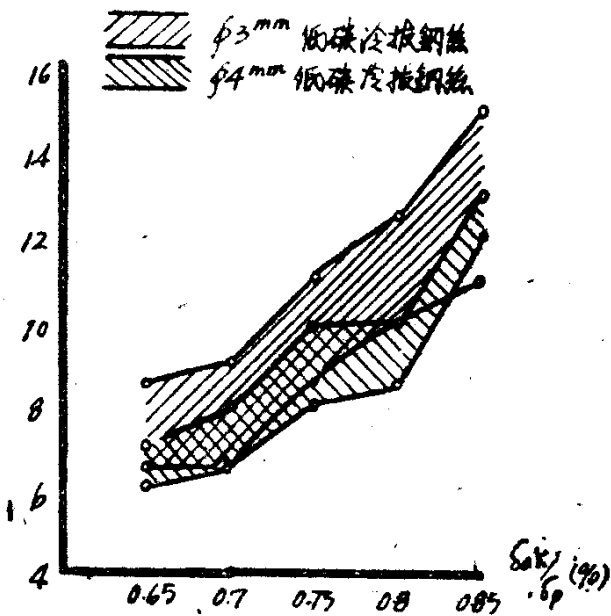


图 5 一次張拉对各种控制应力下徐变应力的損失(100小時)範圍

控制应力，其試驗結果列入表 4。由表 4 可見，和一次張拉相比較， $\phi 3$  公厘鋼絲徐变量可減少40~50%； $\phi 4$  公厘鋼絲徐变量可減少55~60%。（2）两次超荷張拉；超張次数越多則徐变量越少，两次超荷張拉（即超荷部分为控制应力的10%，2分鐘后卸荷至零，重加至該荷重，2分鐘后卸至控制应力），和一次張拉相比， $\phi 3$  公厘可減少徐变量70%； $\phi 4$  公厘可減少徐变量75%。

表 3

低碳冷拔鋼絲100小時徐變試驗結果

直徑 (公厘)	張 拉 方 法	編 號 序 號	強度 極限 (公斤/公 分 <sup>2</sup> )	強度 與強 度之 比	超強 荷載 應限 力之 比	荷 時 間 (分)	徐 變 性 特 性				備 註					
							2 分鐘		5 分鐘		1 小時		24 小時			
							徐 變 應 力 與 強 度 之 比 (%)	徐 變 應 力 與 強 度 之 比 (%)	徐 變 應 力 與 強 度 之 比 (%)	徐 變 應 力 與 強 度 之 比 (%)	徐 變 應 力 與 強 度 之 比 (%)	徐 變 應 力 與 強 度 之 比 (%)				
3	一次 張 拉	3—1	8350	0.65	—	—	2.66	35.2	3.20	42.60	4.95	65.6	6.73	89.3	7.54	3.60
		3—2	7350	0.7	—	—	1.71	22.0	2.39	30.7	4.35	59.0	6.62	85.2	7.77	3.49
		3—3	7750	0.75	—	—	1.88	20.6	2.71	29.7	5.44	59.4	8.18	89.4	9.15	4.05
		3—4	7750	0.8	—	—	3.06	30.0	3.94	38.5	7.06	69.0	9.60	93.7	10.20	4.58
		3—5	8320	0.85	—	—	4.56	33.0	5.90	42.7	10.10	73.1	13.30	96.1	13.84	6.57
	二次 超 荷 張 拉	3—6	7750	0.7	0.75	2	0.750	15.90	1.13	23.8	—	—	—	4.72	4.72	2.09
		3—7	7350	0.7	0.8	2	0.199	6.43	0.297	8.8	1.27	32.6	2.50	73.7	3.14	1.52
		3—8	7760	0.7	0.85	2	0.068	2.37	0.226	7.9	0.95	33.2	2.24	78.1	2.87	1.27
		3—9	7750	0.75	0.8	2	0.300	5.86	0.45	8.8	2.26	44.2	4.42	86.4	5.12	2.27
		3—10	7350	0.8	0.85	2	0.669	12.40	1.19	22.1	2.78	51.7	4.82	89.5	5.39	2.42
4	二次 超 荷 張 拉	3—11	8350	0.8	0.88	2	0.139	4.55	0.21	6.88	0.93	30.5	2.36	77.4	3.05	1.46
		4—1	7650	0.65	—	—	1.61	24.0	2.1	31.4	3.82	57.0	5.68	85.0	6.70	2.76
		4—2	7650	0.7	—	—	3.2	41.8	3.79	49.3	5.48	71.2	7.10	92.3	7.70	3.18
		4—3	7650	0.75	—	—	2.98	34.8	3.94	46.2	5.98	69.9	7.50	87.6	8.55	3.53
		4—4	7650	0.8	—	—	4.17	42.5	4.59	46.8	7.34	75.0	9.20	94.0	9.0	4.06
		4—5	7650	0.85	—	—	3.62	28.6	4.67	37.0	7.44	58.7	11.30	89.0	12.67	5.25
	二次 超 荷 張 拉	4—6	7650	0.7	0.75	2	0.555	18.6	0.555	18.6	1.40	47.0	2.52	84.9	2.93	1.23
		4—7	7650	0.7	0.8	2	0.32	10.9	0.404	13.7	1.16	39.6	2.28	77.6	2.94	1.22
		4—8	7650	0.7	0.8	5	0.24	10.0	0.25	10.32	0.685	28.3	1.53	63.2	2.42	0.998
		4—9	7650	0.7	0.85	2	0	0	0.242	10.4	0.75	32.2	1.62	69.9	2.32	0.96
		4—10	—	0.75	0.8	2	0.26	6.9	0.39	10.3	0.86	22.9	2.98	79.0	3.77	1.45
	二次 超 荷 張 拉	4—11	7650	0.8	0.85	2	0.32	8.1	0.556	14.0	1.35	34.1	3.15	79.5	3.97	1.64
		4—12	7300	0.8	0.88	2	0.176	7.4	0.176	7.4	0.256	10.76	1.70	71.4	2.38	0.94

加荷保持2

小時

荷載

與前

的

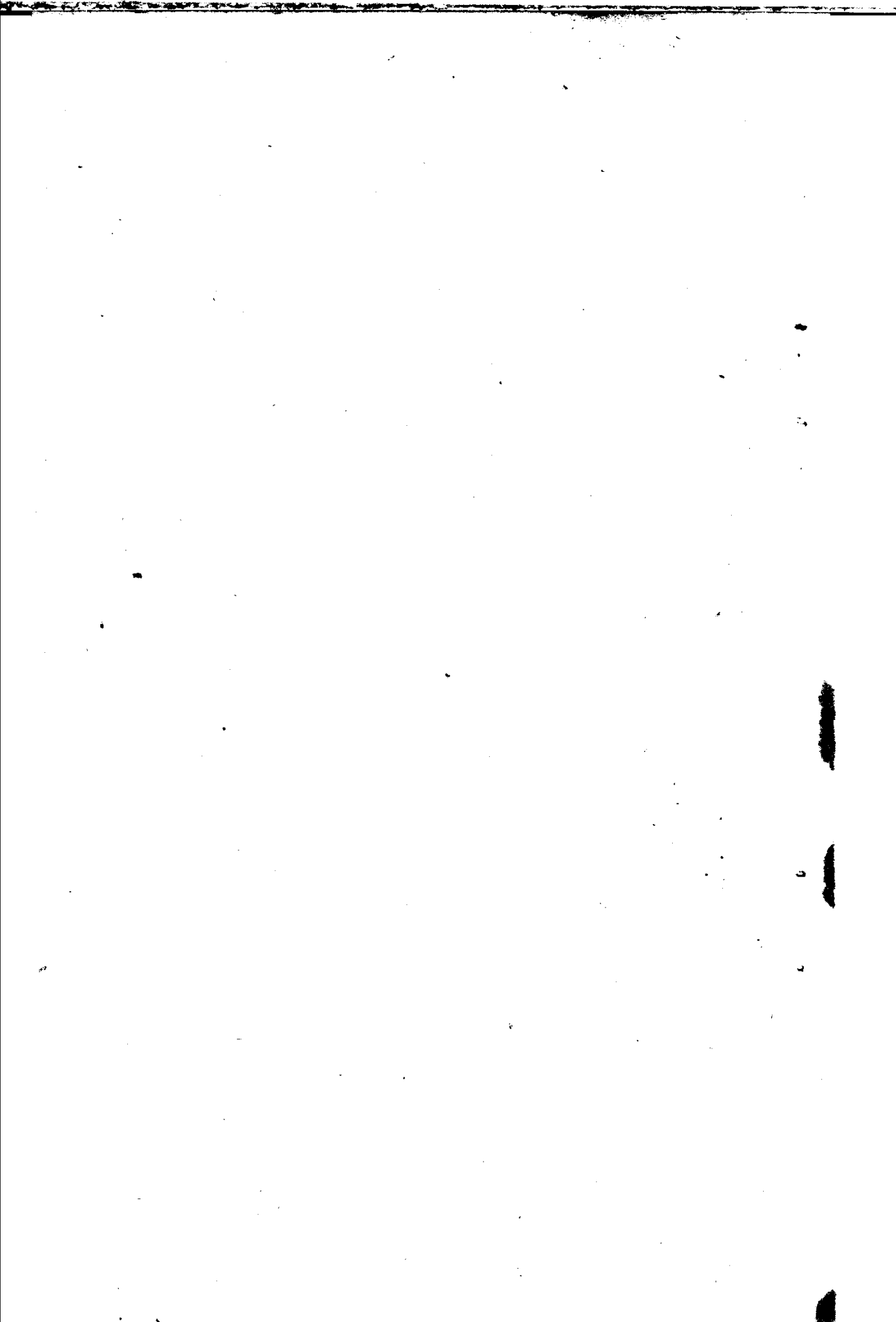


表 4

一次超荷張拉(保持 2 分鐘)100小時徐變应力的損失( $\sigma_{n+3}/\sigma_p\%$ )

直徑(公厘)	超荷应力与强度极限比(%)					备 注
	0.75	0.8	0.85	0.9	0.95	
3	0.7	0.7	0.7	0.75	0.8	
	3~5 (5)	2~3.5 (3)	2.5~3 (2)	3~6 (3)	5~5.5 (2)	括弧內的数字表示試驗次數
4	2.5~3.5 (3)	2~3.5 (3)	2~3 (1)	2~4 (3)	3~4 (3)	同 上

图 6 表示出  $\phi 3$  公厘及  $\phi 4$  公厘鋼絲一次超荷張拉时(超張 5 % 强度极限, 保持 2 分鐘)在各种控制应力下徐变应力损失值

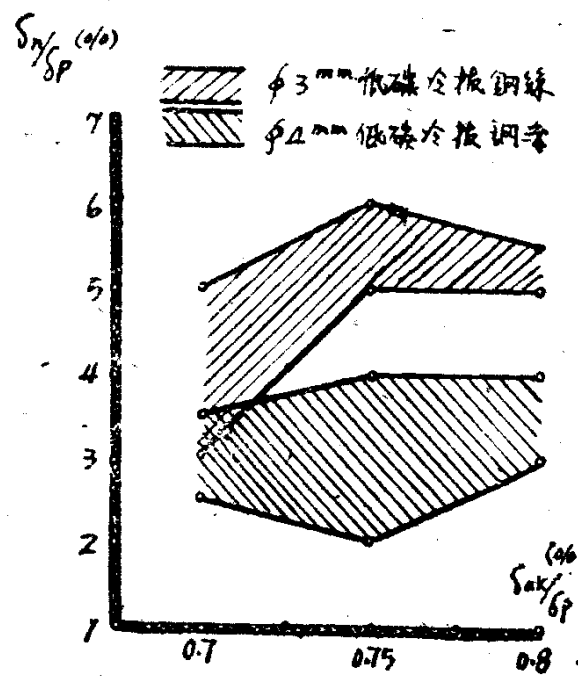


图 6 一次超荷張拉(超荷 5 % 强度极限, 保持 2 分鐘)各种控制应力下徐变应力损失值的範圍